

8. Исаченко В. П., Осипова В. А., Сукомел А. С. Теплопередача.— М.: Энергоиздат, 1981.
 9. Уэндланд У. Термические методы анализа.— М.: Мир, 1978.
 10. Исааков Г. Н. Моделирование нестационарных процессов тепломассопереноса и воспламенения в реакционноспособных средах.— Томск: Изд-во Том. ун-та, 1988.

634050, г. Томск,
 НИИ прикладной математики
 и механики при ТГУ

Посупила в редакцию 6/XI 1992

УДК 534

Н. Н. Смирнов, В. В. Южаков

**ДИНАМИКА КАТАЛИТИЧЕСКОЙ РЕАКЦИИ
 ОКИСЛЕНИЯ СО НА Pt
 С УЧЕТОМ ВНЕШНEDIФFUЗIONНОГО ТОРМОЖЕНИЯ**

Впервые исследован процесс нестационарного окисления окиси углерода на сферическом платиновом катализаторе с учетом влияния внешней диффузии. В противоположность случаю, когда внешнедиффузионным торможением пренебрегается и существует только один основной вид фазовой плоскости катализатора, в работе, благодаря учету влияния внешней диффузии, найдены четыре дополнительных режима работы катализатора, и именно они позволяют объяснить разрывный характер зависимости стационарной скорости реакции от давления смеси и концентраций реагентов. Установлено, что зависимость скорости реакции от времени при переходе катализатора к стационарному состоянию может быть немонотонной и на нее влияют начальное состояние катализатора и безразмерные определяющие параметры. Показано, что в зависимости от значений внешних определяющих параметров может существовать шесть, пять, четыре и два стационарных состояния, являющихся в фазовой плоскости особыми точками типа «седло» или «узел».

В последнее время неизменно возрастает значимость изучения реакции окисления CO на катализаторах платиновой группы. Сконструированы нейтрализаторы выхлопных газов для автомобилей и установки для очистки промышленных выбросов от окиси углерода. Однако, несмотря на большое количество исследований, посвященных данному вопросу, многие эффекты реакции остаются необъясненными.

В большинстве работ предполагается, что в газовой фазе происходит идеальное перемешивание, т. е. значения параметров газа у поверхности катализатора и во внешнем потоке [1—3] одинаковы. Однако скорость катализитических реакций, как и других гетерогенных реакций, в большинстве случаев зависит не только от кинетики поверхностных превращений, но и от диффузии реагентов к поверхности катализатора [4—6].

В данной работе показано, что учет влияния внешней диффузии позволяет объяснить изменение количества стационарных состояний катализатора и скачки скорости реакции при непрерывном изменении внешних параметров.

Пусть реакция протекает на одиночном сферическом катализаторе радиуса $r_0 = \text{const}$, температура которого постоянна. Предполагая, что 1) влияние массовых сил и излучения несущественно, 2) химические реакции в газе отсутствуют, а протекают только на поверхности катализатора, 3) давление смеси постоянно, $p = \text{const}$, 4) скорость центра масс системы $\bar{v} = 0$, получаем, что уравнение импульса обращается в тождество, а уравнение изменения массы для i -го компонента принимает вид

$$\rho \frac{dY_i}{dt} = - \operatorname{div} \bar{I}_i, \quad (1)$$

где \bar{I}_i — вектор потока диффузии; ρ — плотность смеси; Y_i — массовая концентрация i -го компонента.

Далее считаем, что задача обладает сферической симметрией. Границные условия уравнения (1):

© Н. Н. Смирнов, В. В. Южаков, 1993.

1) во внешнем потоке (при $r \rightarrow \infty$): $Y_i = Y_{ie}$, Y_{ie} — заданные концентрации компонентов;

2) на поверхности катализатора ($r = r_0$)

$$I_i|_{r=r_0}(t) = g_i(t), \quad (2)$$

I_i — радиальная компонента \bar{I}_i ; g_i — скорость рождения i -го компонента на поверхности в результате химической реакции.

Рассмотрим квазистационарную модель процесса, т. е. предположим, что в каждый момент времени распределение концентраций в газовой фазе такое же, как и в стационарной задаче [5], т. е.

$$Y_i(t) = (Y_{iw}(t) - Y_{ie}) \frac{r_0}{r} + Y_{ie}. \quad (3)$$

Из (1), используя граничные условия (2) и предположение о квазистационарности распределения концентраций в газе (3), получим уравнение для изменения концентраций газообразных реагентов около поверхности катализатора

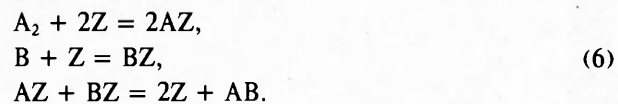
$$\frac{dY_{iw}}{dt} = \frac{2D}{r_0^2} (Y_{ie} - Y_{iw}) + \frac{2g_i}{r_0 \rho_w}, \quad (4)$$

где ρ_w — плотность смеси около поверхности катализатора; D — коэффициент диффузии.

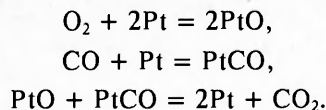
Для реакции вида



рассмотрим простейший трехстадийный адсорбционный каталитический механизм Ленгмюра — Хиншельвуда [1, 5, 6]:



Здесь A_2 и B — молекулы реагентов, вступающих в реакцию; Z — атомы металла (катализатора). Так, для реакции окисления окиси углерода на платине каталитический механизм (6) имеет вид



Исходя из постулатов Ленгмюра, скорость j -й стадии поверхности реакции может быть определена соотношением [5]

$$\epsilon_j = k_j \prod_{i=1}^{N_1} p_i^{v'_j} \prod_{i=N_1+1}^N \gamma_i^{v''_j} - k_{-j} \prod_{i=1}^{N_1} p_i^{v'_j} \prod_{i=N_1+1}^N \gamma_i^{v''_j}, \quad (7)$$

где p_i ($i = 1, \dots, N_1$) — парциальное давление газообразных реагентов у поверхности; γ_i — поверхностная концентрация реагента ($i = N_1 + 1, \dots, N$); k_j — константа скорости реакции; v'_j и v''_j — стехиометрические коэффициенты i -го компонента в j -й реакции до и после реакции соответственно.

Для механизма (6) запишем нестационарную кинетическую модель. Пренебрегая скоростями обратных реакций из-за их малости по сравнению со скоростями прямых реакций, получим

$$\begin{aligned} \frac{d\gamma_A}{dt} &= k_1 p_{A_2w} \gamma_Z^2 - k_3 \gamma_A \gamma_B, \\ \frac{d\gamma_B}{dt} &= k_2 p_{Bw} \gamma_Z - k_3 \gamma_A \gamma_B, \\ \gamma_A + \gamma_B + \gamma_Z &= I, \end{aligned} \quad (8)$$

γ_A , γ_B , γ_Z — поверхностные концентрации соединений AZ , BZ и атомов металла Z ; $p_{A_{2w}}$, p_{Bw} — парциальные давления реагентов A_2 и B у поверхности катализатора.

Скорость образования конечного продукта AB (скорость реакции) определяется соотношением

$$\epsilon = k_3 \gamma_A \gamma_B. \quad (9)$$

Скорость рождения i -го компонента на поверхности

$$g_i(t) = \mu_i \frac{N_Z}{N_A} \sum_j \epsilon_j(i) (\nu''_j - \nu'_j), \quad (10)$$

N_A — число Авогадро; N_Z — плотность атомов на поверхности; μ_i — молярная масса i -го компонента.

Подставляя выражения для скоростей рождения компонентов на поверхности катализатора в уравнение (4) и записывая (8) с учетом $p_{iw} = p Y_{iw} \frac{\mu_w}{\mu_i}$, получим систему

$$\begin{aligned} \frac{dY_{Aw}}{dt} &= \frac{2D}{r_0^2} \left(Y_{Ae} - Y_{Aw} - \frac{r_0 N_Z \mu_w p}{\rho_w D N_A} k_1 Y_{Aw} \gamma_Z^2 \right), \\ \frac{dY_{Bw}}{dt} &= \frac{2D}{r_0^2} \left(Y_{Be} - Y_{Bw} - \frac{r_0 N_Z \mu_w p}{\rho_w D N_A} k_2 Y_{Bw} \gamma_Z \right), \\ \frac{d\gamma_A}{dt} &= k_1 p Y_{Aw} \frac{\mu_w}{\mu_{A_2}} \gamma_Z^2 - k_3 \gamma_A \gamma_B, \\ \frac{d\gamma_B}{dt} &= k_2 p Y_{Bw} \frac{\mu_w}{\mu_B} \gamma_Z - k_3 \gamma_A \gamma_B; \\ \gamma_Z &= 1 - \gamma_A - \gamma_B, \quad \mu_w = \left(\sum_i \frac{Y_{iw}}{\mu_i} \right)^{-1}. \end{aligned} \quad (11)$$

Введем следующие безразмерные величины:

$$\begin{aligned} \alpha &= \frac{k_2}{k_1}, \quad \beta = \frac{k_2 p}{k_3}, \quad \Theta = \frac{2D}{k_3 r_0^2}, \quad \tau = tk_3, \\ \kappa &= \frac{k_2^2}{2k_1} \frac{RT N_Z}{DN_A} r_0, \end{aligned}$$

где R — универсальная газовая постоянная; T — температура катализатора.

Таким образом, получена система четырех дифференциальных уравнений относительно четырех неизвестных γ_A , γ_B , Y_{Aw} , Y_{Bw} :

$$\begin{aligned} \frac{dY_{Aw}}{d\tau} &= \Theta \left(Y_{Ae} - Y_{Aw} \left(1 + \frac{\kappa}{\alpha^2} \gamma_Z^2 \right) \right), \\ \frac{dY_{Bw}}{d\tau} &= \Theta \left(Y_{Be} - Y_{Bw} \left(1 + \kappa \frac{\gamma_Z}{\alpha} \right) \right), \\ \frac{d\gamma_A}{d\tau} &= \frac{\beta}{\alpha} Y_{Aw} \frac{\mu_w}{\mu_{A_2}} \gamma_Z^2 - \gamma_A \gamma_B, \\ \frac{d\gamma_B}{d\tau} &= \beta Y_{Bw} \frac{\mu_w}{\mu_B} \gamma_Z - \gamma_A \gamma_B; \\ \gamma_Z &= 1 - \gamma_A - \gamma_B, \quad \mu_w = \left(\frac{Y_{Aw}}{\mu_{A_2}} + \frac{Y_{Bw}}{\mu_B} + \frac{1 - Y_{Bw} - Y_{Aw}}{\mu_{AB}} \right)^{-1}. \end{aligned} \quad (12)$$

Безразмерная скорость реакции $\bar{\epsilon} = \gamma_A \gamma_B$.

Система решалась численно, использовался метод Рунге — Кутта шестого порядка с контролем погрешности на шаге. В зависимости от значений внешних определяющих параметров Y_{Ae} , Y_{Be} возможны два класса решений [7]. Расчеты проведены для $Y_{Ae}/\mu_{A_2} \leq Y_{Be}/\mu_B$ и $Y_{Ae} = 0,25$, $Y_{Be} = 0,32$, $\Theta = 10$, $\alpha = 0,01$, $\beta = 4,0$.

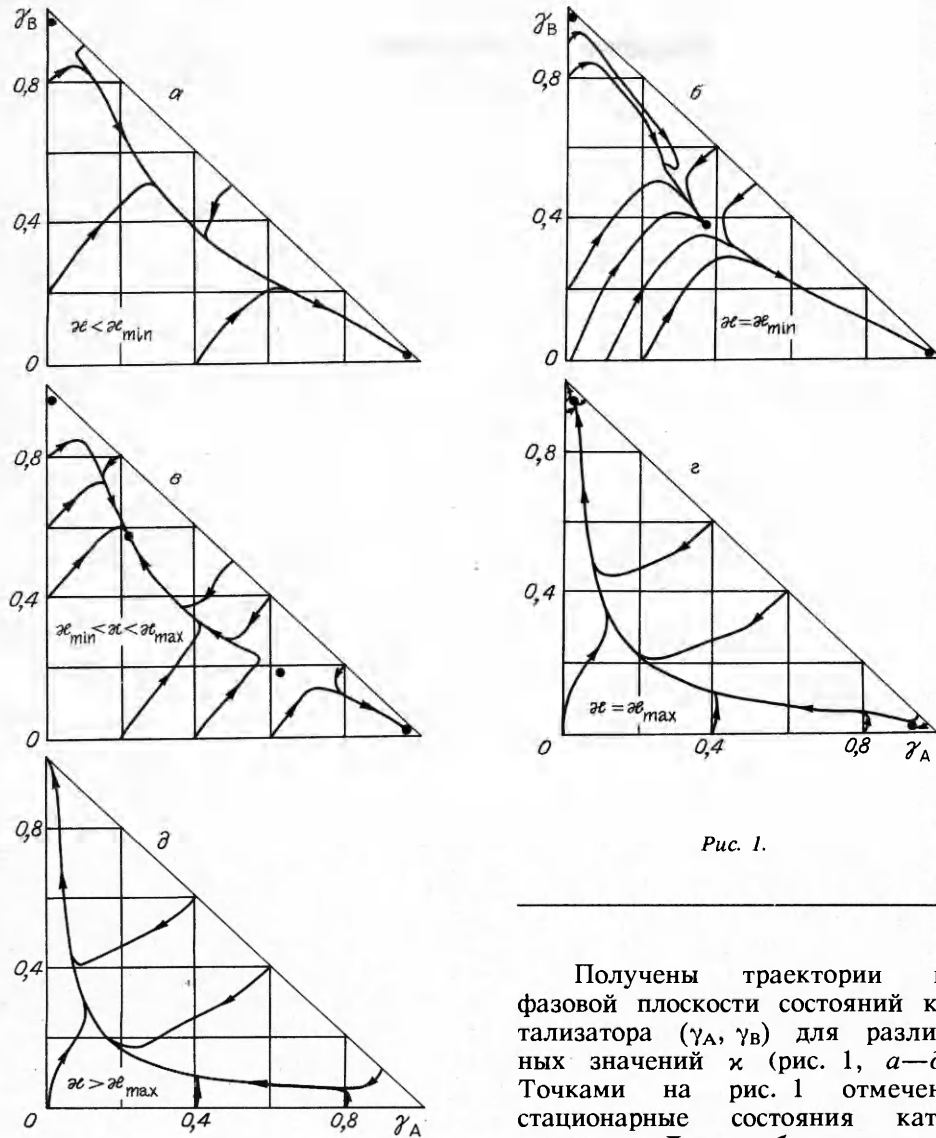


Рис. 1.

сходимость числа $n_s(x)$ стационарных

Получены траектории на фазовой плоскости состояний катализатора (γ_A, γ_B) для различных значений x (рис. 1, а—д). Точками на рис. 1 отмечены стационарные состояния катализатора. Для выбранных значений определяющих параметров имеем $x_{\min} = 0,0865$, $x_{\max} = 0,370$. Получена зависимость числа $n_s(x)$ стационарных

$$n_s(x) = \begin{cases} 4, & x < x_{\min}, \\ 5, & x = x_{\min}, \\ 6, & x_{\min} < x < x_{\max}, \\ 4, & x = x_{\max}, \\ 2, & x > x_{\max}. \end{cases}$$

Из них два стационарных состояния в граничных точках $(0; 1)$ и $(1; 0)$ существуют при любом x . Получены также зависимости скорости образования вещества АВ ($\dot{\epsilon} = \gamma_A \gamma_B$) от времени для траекторий, выходящих из точки $(0; 0)$ при различных значениях x (рис. 2).

Интегральные траектории (см. рис. 1) показывают, что каждая пара внутренних стационарных состояний содержит одно устойчивое узел и

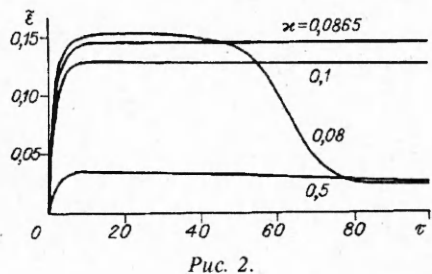


Рис. 2.

внутренние стационарные состояния отсутствуют. В остальных режимах скорость реакции в стационарном состоянии катализатора близка к нулю, поскольку внутренние стационарные состояния приближаются к граничным стационарным состояниям.

Расчеты для $Y_{Be}/\mu_B < Y_{Ae}/\mu_{A_2}$ показывают, что для всех x имеем два внутренних и два граничных стационарных состояния. С увеличением x от точки, соответствующей внутреннему стационарному состоянию, удаляется от точки, соответствующей ближайшему граничному стационарному состоянию, и при $x \rightarrow \infty$ стремится к предельной точке.

В работе [8] приведены результаты исследований скорости реакции в зависимости от давления смеси. Отмечено существование критического значения давления p^* , при котором скорость реакции изменяется скачкообразно, так что при $p > p^*$ $\epsilon \approx 0$.

Учитывая зависимость коэффициента диффузии от температуры и давления [9] для рассматриваемой смеси

$$D = D_0 \frac{T^n}{p}, \quad D_0 = \text{const}, \quad n = 1,8,$$

запишем x в виде

$$x = \frac{k_2^2 N_Z R r_0 p}{2 k_1 N_A D_0 T^{0.8}},$$

т. е. x — линейная функция p .

При $x = x_{\max}$ показано, что фазовый портрет реакции изменяется. Можно предположить, что режим $p > p^*$ соответствует случаю $x > x_{\max}$, при котором $\epsilon = 0$, что объясняет происхождение критического значения давления.

В работе [10] экспериментально исследована зависимость скорости реакции от изменения Y_{Be} . Показано, что существуют Y_{Be}^* и \bar{Y}_{Be}^{**} такие, что скорость реакции практически отлична от нуля лишь при $Y_{Be}^* \leq Y_{Be} \leq \bar{Y}_{Be}^{**}$.

Полученное здесь решение показывает, что величина x не зависит от Y_{Be} . С другой стороны, значения x_{\max} и x_{\min} зависят от Y_{Be} , причем с возрастанием Y_{Be} в исследуемом диапазоне x_{\min} и x_{\max} убывают. Поэтому можно полагать, что смысл критических параметров в том, что при $Y_{Be} < Y_{Be}^*$ имеем $x_{\min} > x$. В этом режиме $\epsilon \sim 0$. При $Y_{Be} > \bar{Y}_{Be}^{**}$ имеем $x_{\max} < x$, причем $\epsilon \sim 0$. Высокая скорость реакции достигается при $x_{\min} \leq x \leq x_{\max}$ (см. рис. 2), т. е. при $Y_{Be}^* \leq Y_{Be} \leq \bar{Y}_{Be}^{**}$. Таким образом, можно объяснить происхождение критических концентраций вещества B, обнаруженных в экспериментах.

Анализ полученных результатов позволяет дать некоторые практические рекомендации, направленные на увеличение скорости реакции. Высокое значение ϵ достигается при $x_{\min} \leq x \leq x_{\max}$, т. е. когда определяющие параметры задачи (радиус катализатора, температура системы, давление смеси и т. д.) таковы, что величина x удовлетворяет данному условию.

Для случая, когда x не попадает в указанный интервал, существуют траектории, на которых в некоторые моменты времени скорость реакции существенно превышает ϵ в стационарном состоянии. Этим свойством, например, обладает траектория, выходящая из точки (0; 0) на фазовой плоскости. Поэтому, чтобы увеличить среднюю скорость реакции, необ-

одно неустойчивое типа седло. Из рис. 2 видно, что вдоль выбранной траектории скорость реакции изменяется немонотонно: вначале она возрастает, достигает максимума, а затем асимптотически стремится к стационарному значению. Высокая скорость в стационарном режиме может достигаться при $x_{\min} \leq x \leq x_{\max}$. При $x > x_{\max}$ скорость реакции в стационарном режиме $\epsilon = 0$, так как внут-

ходимо через $\Delta t \leq 80$ переводить поверхность катализатора в состояние, близкое к точке (0; 0) на фазовой плоскости (γ_A, γ_B). Другими словами, необходимо периодически очищать поверхность катализатора от реагентов.

ЛИТЕРАТУРА

1. Harold M. P., Garske M. E. Kinetics and multiple rate states of CO oxidation on Pt // J. Catal. — 1991. — 127. — Р. 524—575.
2. Иванов В. П., Елохин В. И., Яблонский Г. С. и др. Кинетическая модель окисления окси углерода на металлах платиновой группы // Кинетика и катализ. — 1981. — XXII, № 4. — С. 1040—1047.
3. Быков В. И., Яблонский Г. С., Слинько М. Г. Динамика окисления окси углерода на платине // Докл. АН СССР. — 1976. — 229. — С. 1356—1359.
4. Дельмон Б. Кинетика гетерогенных реакций. — М.: Мир, 1972.
5. Зверев И. Н., Смирнов Н. Н. Газодинамика горения. — М., 1987.
6. Смирнов Н. Н., Яблонский Г. С., Елохин В. И. Влияние диффузии на стационарные состояния сферического катализатора при трехстадийном адсорбционном механизме реакции // ФГВ. — 1985. — 21, № 6. — С. 73—77.
7. Смирнов Н. Н., Южаков В. В. Динамика каталитической реакции окисления CO на Pt с учетом внешнедиффузионного торможения // Вопросы механики сплошных сред/Под ред. Шемякина Е. И. — М.: МГУ, 1992.
8. Яблонский Г. С., Быков В. И., Елохин В. И. Кинетика модельных реакций гетерогенного катализа. — Новосибирск: Наука, 1984.
9. Варгафтик Н. Б. Справочник по теплофизическим свойствам газов и жидкостей. — М.: Наука, 1972.
10. Cameron P., Scott R. P., Watts P. The oxidation of carbon monoxide on a platinum catalyst at atmospheric pressure // J. Chem. Soc. Faraday Trans. 1. — 1986, Pt 5. — Р. 1389—1403.

119899, г. Москва,
МГУ им. М. В. Ломоносова

Поступила в редакцию 30/IX 1992,
после доработки — 10/III 1993

УДК 536.46

И. Г. Дик

СТАЦИОНАРНЫЕ РЕЖИМЫ НЕИЗОТЕРМИЧЕСКИХ ХИМИЧЕСКИХ РЕАКЦИЙ В ПОРИСТОМ СЛОЕ

Исследовалось реагирование в пористом слое, куда газообразный реагент поступает диффузионным путем. В случае термостатированной границы слоя обнаружен эффект вырождения теплового взрыва. Этого эффекта нет в случае плохой теплоотдачи из слоя. Найдены функциональные связи между параметрами системы в различных случаях.

Реакции в толще пористого слоя часто могут идти лишь при условии доставки туда газообразного реагента (окислителя). Оставляя в стороне случаи напорной фильтрации, рассмотрим достаточно плотный слой, когда перенос газа можно описать диффузионным уравнением с коэффициентом диффузии D , определяемым пористой структурой. Такой подход для изотермических реакций описан в [1, 2]. В случаях, представляющих интерес для теории пожароопасности (самовозгорание угольных куч, слоев органического пылевидного материала и т. д.), требуется вместе с уравнением для диффузионной кинетики рассмотреть и уравнение для температуры.

Пусть слой толщиной $2L$ соприкасается с газом, содержащим реагирующую с материалом слоя компоненту концентрации c_0 . Стационарные режимы реакции описываются выражениями

$$D \frac{d^2 c}{dx^2} = c^n W(T) = c^n k_0 \exp \left(-\frac{E}{RT} \right), \quad (1)$$

$$\lambda \frac{d^2 T}{dx^2} = -Q c^n W(T) = -Q c^n k_0 \exp \left(-\frac{E}{RT} \right), \quad (2)$$